

# 变曲面封头的研制

刘仁发

在火箭发动机的结构设计中，往往由于受总体布局、发射筒径向尺寸等条件的限制，发动机后封头的二个圆开口需相互倾斜某一角度，且开口的二轴心线不相交在开口的轴心上。为了满足上述的结构要求，用简单的球面斜开口的型式是不行的，但是可以采用一种曲面曲率不断变化的封头，即变曲面封头。我们曾对变曲面封头的设计与制造开展了一定的科研活动，获得了初步认识。为了使变曲面封头的研制进一步深入，下面仅就我们在变曲面封头的研制过程中，所遇到的变曲面封头的曲面设计、展开面积的计算、强度的近似计算、冲压工艺、冲压模具变曲面的机械加工等方面的问题，简要地报告如下：

## 一、变曲面的设计

### 1. 原始数据

如图 1 所示，图中实线为已知部分：直开口内径为  $\phi 354$ ，斜开口内径为  $\phi 269$ ，倾斜角为  $10^{\circ}33'$ ，轴线抬高距离为 26.5，直开口圆柱段长 20，直开口与斜开口上端距离为 168（长度单位均为毫米，后同）。图中虚线为待求的变曲面部分。

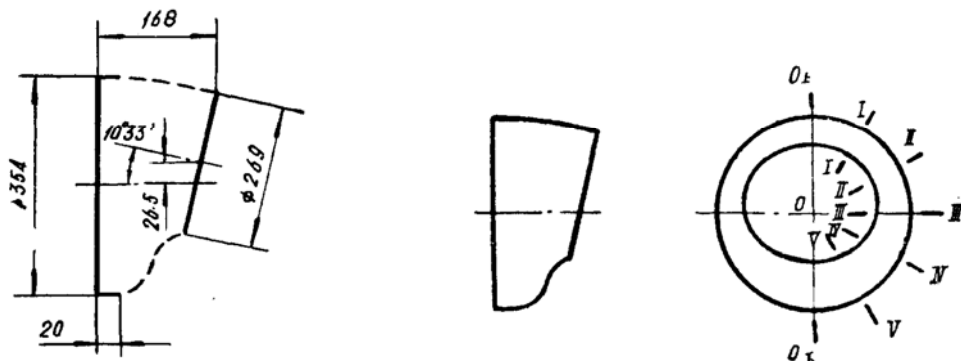


图 1 曲面原始数据

图 2 曲面的表示

### 2. 变曲面的表示

如图 2 所示，该曲面很难以某个数学解析式来表示。我们采取的是截面表示法，即通过直开口轴心 O 点，每隔  $30^{\circ}$  均匀地在圆周上作截面。在半个圆周上共作 O-O 上，I-I，II-II，……O-O 下均匀分布的七个截面。分别求出各截面与变曲面的相交曲线，这些截面曲线就能比较准确地表示变曲面。

### 3. 各截面曲线的设计

#### 1. 出口点 $P_i$ 的确定

在各截面曲线上，其曲线的二个端点分别是直开口、斜开口两圆弧与截面的交点。我们将斜开口圆弧与截面的交点 $P_i$ 称为出口点。

出口点 $P_i$ 的确定对于确保斜开口 $\phi 269$ 圆弧的尺寸及截面曲线的设计是很重要的。出口点 $P_i$ 可以用图解法或计算法来求得，但计算法比图解法精确，下面仅介绍计算法。如图3所示，现以I-I截面为例。图中 $P_i Q_i$ 曲线即为所求的截面曲线， $P_i$ 即为出口点，其位置可用互相垂直的 $h_i$ ， $S_i$ 二个坐标值来确定。根据

$h_i$ ， $S_i$ 分别平行和垂直直开口面，所以如图4所示， $h_i$ 在左视图中反映实长，而 $S_i$ 在主视图中反映实长。在左视图中，以直开口轴心O为坐标原点，水平和垂直方向分别为二坐标轴方向建立直角坐标系xoy。

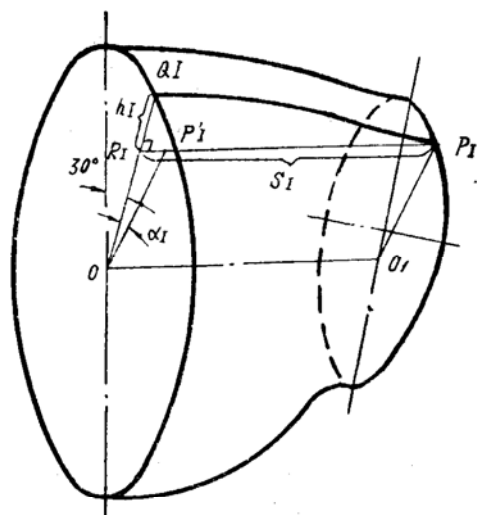


图3 出口点 $P_i$ 的确定

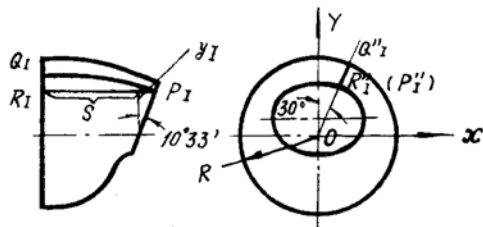


图4  $h_i$ ， $S_i$ 的计算

得：

$$\begin{cases} h_i = P_i'' Q_i'' = R - OP_i'' \\ S_i = P_i R_i = S + y_i \cdot \operatorname{tg} 10^\circ 33' \end{cases} \quad (1) \quad (2)$$

同理可得：对一般截面

$$\begin{cases} h_i = R - OP_i'' \\ S_i = S + y_i \operatorname{tg} 10^\circ 33' \end{cases} \quad (3) \quad (4)$$

式中  $R$ ：直开口圆半径，等于177；

$OP_i''$ ：出口点 $P_i$ 与轴心O点在左视图中的投影距离；

$S$ ：直开口轴心线夹在直、斜开口面间的长度，等于138.4；

$y_i$ ：出口点 $P_i$ 在xoy坐标系中的纵坐标值。

又因为斜开口圆在图4所示的左视图中投影为一椭圆，设该椭圆的长、短半径分别为：

a、b，椭圆轴心至原点O垂直距离为h，根据图1所示的原始数据可得：

$$a = 134.5$$

$$b = 134.5 \times \cos 10^\circ 33' = 132.23$$

$$h = 26.5$$

该椭圆方程为：

$$\frac{(y-h)^2}{b^2} + \frac{x^2}{a^2} = 1 \quad (5)$$

$P_i''$  为椭圆与  $y = kx$  直线的交点,  $P_i''$  的坐标值由下列方程组决定:

$$\begin{cases} \frac{(y-h)^2}{b^2} + \frac{x^2}{a^2} = 1 \\ y = kx \end{cases} \quad (6)$$

$$(7)$$

由(6)、(7)解得  $P_i''$  点的坐标值:

$$\begin{cases} x = \frac{a^2 kh \pm ab\sqrt{b^2 + a^2 k^2 - h^2}}{b^2 + a^2 k^2} \\ y = kx \end{cases} \quad (8)$$

$$(9)$$

将各截面的不同  $K$  值代入(8)、(9)二式, 即可求出  $P_i''$  点的坐标, 计算结果如表1。

表 1  $P_i''$  点的坐标

截面	0-0上	I-I	II-II	III-III	IV-IV	V-V	0-0下
$K$ 值	/	$\sqrt{3}$	$\sqrt{3}/3$	0	$-\sqrt{3}/3$	$-\sqrt{3}$	/
$X_i$	0	77.6	126.0	131.8	102.5	54.4	0
$y_i$	158.7	134.4	72.7	0	-59.2	-94.4	-105.7

注: 0-0上、下截面的  $X_i$ ,  $y_i$  值可由几何计算直接求得。

知  $P_i''$  坐标值后, 极易求得线段  $OP_i''$  的值, 计算结果如表2。

表 2  $OP_i''$  的值

截面	0-0上	I-I	II-II	III-III	IV-IV	V-V	0-0下
$OP_i''$	158.7	155.2	145.4	131.8	118.4	109.0	105.7

将表1, 表2, 中的  $y_i$ 、 $OP_i''$  之值以及  $R = 177$ ,  $S = 138.4$  分别代入(3), (4)式, 即得各截面的  $h_i$ 、 $S_i$  值, 计算结果如表3。

表 3  $h_i$ 、 $S_i$  值

截面	0-0上	I-I	II-II	III-III	IV-IV	V-V	0-0下
$h_i$	18.3	21.8	31.6	45.2	58.6	68.0	71.3
$S_i$	168	163.5	152.0	138.4	127.3	120.9	118.8

## 2. 各截面曲线半径的选定

考虑加工工艺的方便, 在封头的直开口端全部选用一半径为 R90 的环面。然后再过各  $P_i$  点作与 R90 相切的圆弧, 且根据圆弧半径随截面 O-O<sub>上</sub>……O-O<sub>下</sub> 逐渐由大至小变化的规则, 使

曲面逐渐由较平直向较弯曲变化。通过试凑及作图可求得各截面的斜开口端的曲线半径，其结果如表4。

表 4 斜开口端的曲线半径  $R_i$

截 面	0-0上	I - I	II - II	III - III	IV - IV	V - V	0-0下
$R_i$	$\infty$	120	100	74.9	28.6	18.9	16.7

### 3. 在各截面上斜开口面与直开口面间夹角的计算：

由于加工各截面所用的样板都是以斜开口平面为基准，所以需要求出各截面中斜开口平面与直开口平面的夹角，以便于截面样板的制造和使用。

由图3知：在 I - I 截面上，截面与斜开口面、直开口面的相交线分别为  $O_1P'_1$  和  $OR_1$ ，作  $OP''_1 \parallel O_1P'_1$ ，则  $OP''_1$  与  $OR_1$  的夹角  $\alpha_1$  即为 I - I 截面上，斜开口面与直开口面之间的夹角。

$$\tan \alpha_1 = \frac{R_1 P'_1}{O R_1} \quad (10)$$

对照图4可知，(10)式中的  $R_1 P'_1$ ， $OR_1$  与图4中的  $y_1$ ， $OP''_1$  有如下关系：

$$R_1 P'_1 = y_1 \cdot \tan 10^\circ 33'$$

$$OR_1 = OP''_1$$

将上述关系代入(10)式，得：

$$\tan \alpha_1 = \frac{y_1 \cdot \tan 10^\circ 33'}{OP''_1}$$

同理可推得：对一般截面

$$\tan \alpha_i = \frac{y_i \cdot \tan 10^\circ 33'}{OP''_i} \quad (11)$$

将各截面的  $y_i$ ， $OP''_i$  值代入(11)式即可求得夹角  $\alpha_i$ ，计算结果如表 5。

表 5 夹 角  $\alpha_i$

截 面	0-0上	I - I	II - II	III - III	IV - IV	V - V	0-0下
$\alpha_i$	$10^\circ 33'$	$9^\circ 10'$	$5^\circ 19'$	$0^\circ$	$5^\circ 19'$	$9^\circ 10'$	$10^\circ 33'$

根据以上的变曲面的设计数据，即可将整个的变曲面封头设计出来，如图5所示。

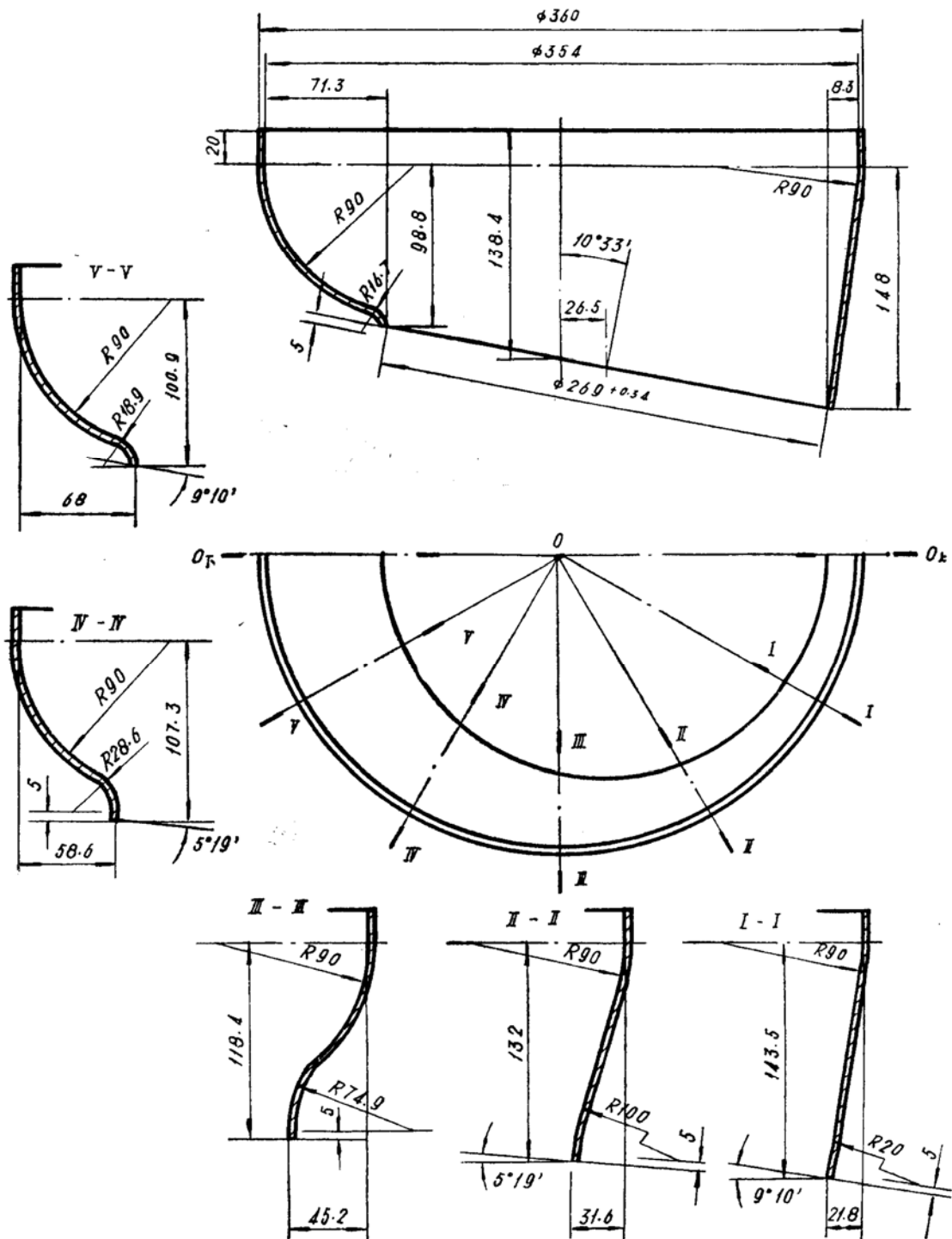


图 5 变曲面封头

## 二、展开面积的计算

### 1. 计算公式简介:

由于变曲面的表面积很难以解析法来计算，现采用等高线（Волков）法来近似计算。用该法计算时，首先由制高点向外一圈一圈地画等高线  $L_n, L_{n-1}, L_{n-2} \dots L_0$  取最低点的高度为 0，最高点的高度为  $h$ 。 $L_i$  与  $L_{i+1}$  之间的面积用  $B_i$  表示（图6 阴影部分），然后按如下步骤来计算表面积：

$$1. \quad L = \sum_{i=0}^n L_i \quad L \text{ 为等高线的总长度}$$

$$B = \sum_{i=0}^n B_i \quad B \text{ 为总投影面积}$$

$$2. \quad \text{由 } \operatorname{tg} \alpha = \frac{\Delta h \cdot L}{B}$$

得出平均倾角  $\alpha$

$$3. \quad S = B \operatorname{seca} \alpha = \sqrt{B^2 + (\Delta h \cdot L)^2}$$

$S$  就是所要求的曲面积的渐近值。此法所计算出的表面积，一般来说比实际值略小。华罗庚同志所著的《积分的近似计算》一书对此方法有较详细的讨论。

### 2. 计算数据：

#### 1. 由各截面曲线求出等高线图

如图 7 所示，先将各截面曲线重叠绘在以 MN 线为基准的图中，然后在 MN 上每隔 20 作

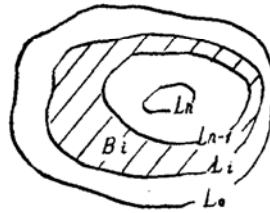


图 6 等高线法

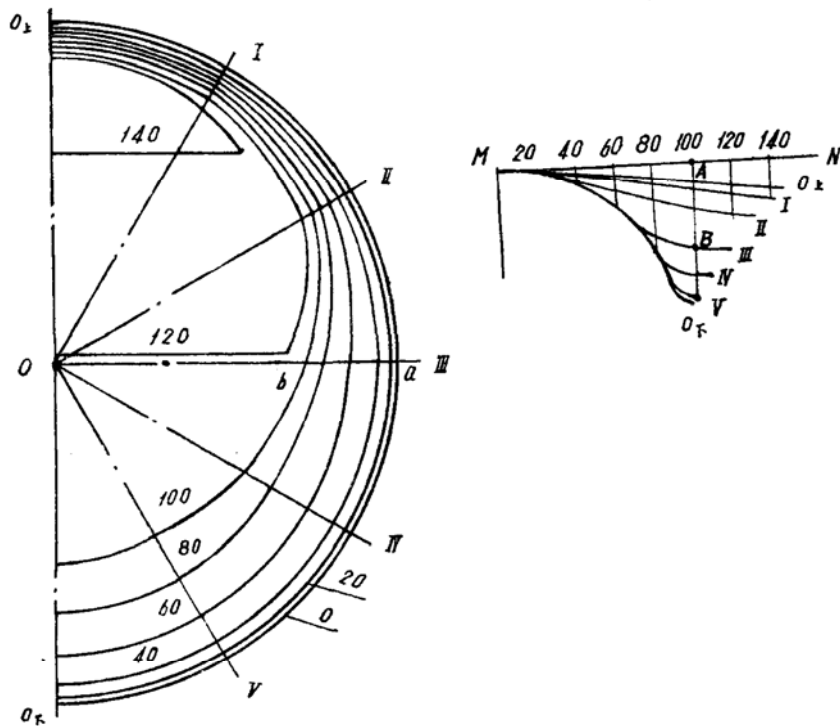


图 7 变曲面封头等高线图

垂直线与各截面曲线相交，各交点至MN的距离，即可作为该点在等高图中至零线圆的距离，如图中AB=ab。

## 2. 由等高线图测量及计算：

从等高线图中直接测量各等高线长度，测量结果如表 6。

表 6

等 高 线 长 度

L <sub>0</sub>	L <sub>1</sub>	L <sub>2</sub>	L <sub>3</sub>	L <sub>4</sub>	L <sub>5</sub>	L <sub>6</sub>	L <sub>7</sub>	L <sub>8</sub>
1112	1100	1070	1010	916	858	716	414	0

$$L = \sum_{i=0}^8 L_i = 7196$$

$$B = \pi R^2 = 3.1416 \times 177^2 \approx 98423$$

$$\tan \alpha = \frac{\Delta h L}{B} = \frac{20 \times 7196}{98423} \approx 1.46226$$

$$\alpha = 55^\circ 37' 58''$$

$$\sec \alpha = 1.77150$$

$$S = B \sec \alpha = 98423 \times 1.77150 \approx 174356$$

$$R'_{\text{展}} = \sqrt{\frac{S}{\pi}} = \sqrt{\frac{174356}{3.1416}} \approx 236$$

考虑到封头还有20直边段，加放34加工余量(估计了余量的不均匀性)，取实际下料尺寸为：

$$R_{\text{展}} = R'_{\text{展}} + 20 + 34 = 290$$

通过试冲压检查，证明此下料尺寸是适合的。

— 33 —

现核核A处强度，其中 $\sigma_1$ ,  $\sigma_2$ ,  $\sigma_3$ 可按

$$\begin{cases} \sigma_1 = \frac{P R_2}{2 \delta_{\min}} \\ \sigma_2 = 0 \\ \sigma_3 = \sigma_1 \times \left(2 - \frac{R_2}{R_1}\right) \end{cases}$$

式中：  $R_1$ ,  $R_2$  为 A 处主曲率半径，其值分别为  $R_1 = 7.49$ ,  $R_2 = 21$

$\delta_{\min}$  为实际最小板厚，等于 0.25

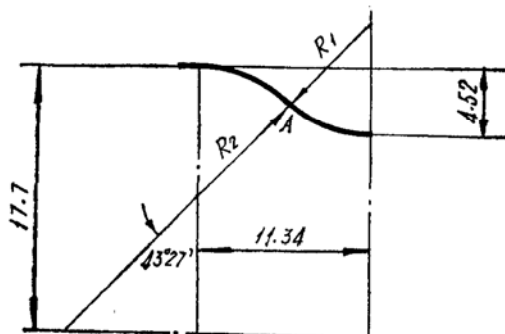


图 8 平均截面

$P$  为最大工作压力, 等于 95 公斤/  
厘米<sup>2</sup>

$(\sigma)$  为许用应力, 等于 7000 公斤/  
厘米<sup>2</sup>

将上述数值代入公式计算得:

$$\sigma_1 = \frac{95 \times 21}{2 \times 0.25} = 3990$$

$$\sigma_3 = 3990 \times \left(2 - \frac{21}{7.49}\right) = -3207$$

$$\therefore \sigma_{\text{eff}} = \frac{1}{\sqrt{2}} \sqrt{3990^2 + 3207^2 + 7197^2} = 6245 < 7000 = (\sigma)。 \text{ 故符合强度要求。}$$

#### 四、冲压工艺简介

我们所选用的变曲面封头的材料是 30CrMnSiA 板材, 板厚为 3 毫米。该材料的延伸率  $\delta_{10} \geq 16\%$ , 而一般 20 号钢的延伸率  $\delta_{10} \geq 26\%$ , 故知 30CrMnSiA 板材的冲压成型较困难。我们经反复试验, 最后是采取四次成型的冷冲压工艺。

##### 1. 模具

采用了四套模具, 其中

1. 模 1, 由阴模、阳模、底座、压边圈等大件组成。 $\phi 580$  的圆板料经模 1 冲压成图 9(a) 所示形状。此模具有一个特点:  $\phi 580$  板料放在阴模定位槽时, 使其与阳模轴心线不同心, 偏心距为 25, 这样做能使所成坯料为一个两边高度不同的盘形。

2. 模 2, 由阴模、阳模、底座、压边圈等大件组成。模 1 所成的坯料反扣在阴模上, 冲压成图 9(b) 所示形状。此模具也有一特点: 是采取反冲压的方式, 这样做能避免坯料在冲压时起皱等缺陷。

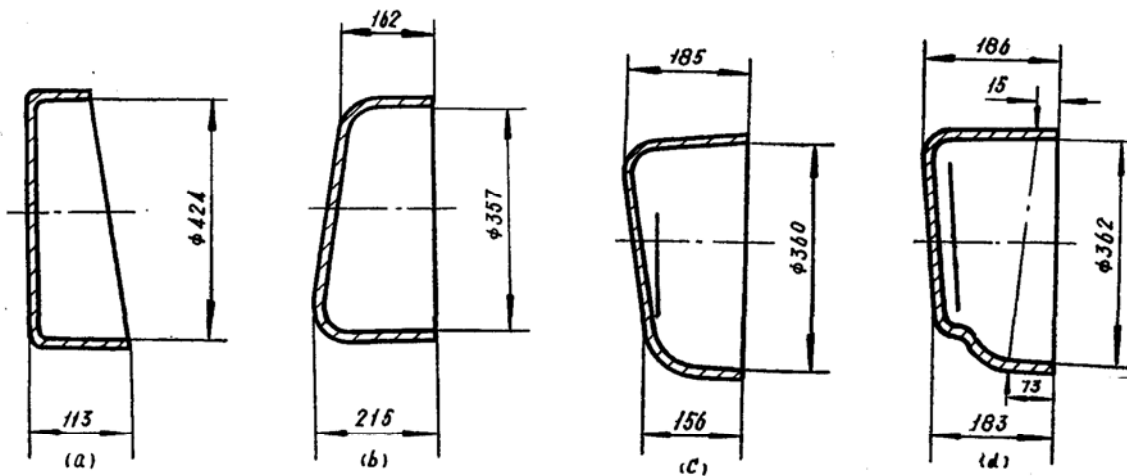


图 9 冲压坯料形状

3. 模 3，由阴模、阳模、脱料板、托板等大件组成。模 2 所成坯料放在阴模内，由阳模及托板冲压成图9(c)所示形状。此模具的特点是阳模和托板是组合加工的，然后再分开使用。

4. 模 4，由阴模、阳模、脱料板、标志冲头等大件组成。此模为最后一道成型模，其阴模是和模 3 共用的。此模具的特点是，冲压至所需压力后，用标志冲头在坯料上冲出基准孔，然后再松压，提起阳模。最后成型如图9(d)所示。

## 2. 工艺

1. 检查材料合格证、炉号、牌号、厚度及表面质量(按YB540—65三级)
2. 剪八角形板料(龙门剪床)八角内切圆为Φ590
3. 退火：(箱式电炉)加热 900°C±10°C，保温1.5~2 小时，随炉冷至 650°C后室温冷却。
4. 矫正：翘曲度应小于1.5
5. 除锈
6. 车圆片：Φ580<sup>0</sup><sub>-1.5</sub>(CQ61100大车)并去毛刺
7. 一冲：工件涂锭子油(500吨油压机) (模具 1 )
8. 退火(箱式电炉)加热690°C±10°C保温一小时，空气中冷却
9. 二冲：工件涂锭子油(500吨油压机) (模具 2 )
10. 退火：同 8
11. 三冲：工件涂锭子油(500吨油压机) (模具 3 )
12. 退火：同 8
13. 四冲：工件涂锭子油(500吨油压机) (模具 4 )打标志
14. 退火：同 8
15. 检验并转机械加工切端面等。

## 五、模具变曲面的加工

前面所介绍的模 3，模 4 的阴、阳模都是变曲面的，在通用的设备上用常规的加工方法是不好加工的。通过摸索，我们在一般的CQ61100大车上采用分段加工的方法，解决了模具变曲面的加工问题。现以模 4 的阳模加工为例，说明变曲面的加工方法。

(一) 将Φ A、Φ B、M面N面加工出，在加工Φ B、M面时可采用斜面夹具，使M面与车床旋转轴心线垂直，然后校正Φ B中心，即可在车床上加工出。

(二) 然后以Φ A 为基准，套上阳模车削偏心筒(参看图11)，在车床上四爪卡盘上进行校调，使机床旋转中心分别对准该偏心筒上所刻的 0，I，II，……V 中的某一点。校调时可利用机床尾架上的顶尖来进行。

(三) 取下阳模车削偏心筒，以所校正的偏心点为旋转中心，进行车削变曲面的相应部分。例如以偏心筒中 I 为旋转中心，则能加工出阳模 I-I 截面及其附近的一段曲面。重复(二)(三)的加工步骤，就可以依次加工出变曲面的各个截面。在加工各截面时，可以Φ A

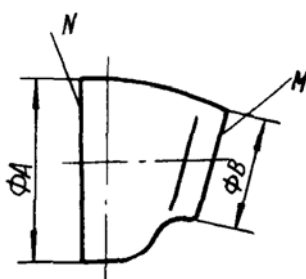


图10 模 4 阳模

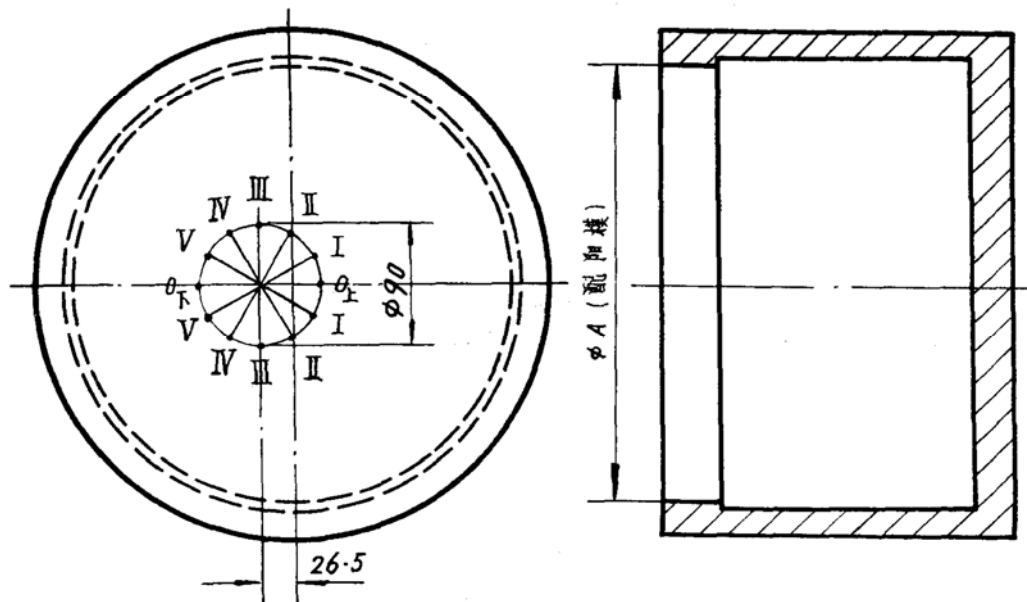


图 11 偏心筒

及M面为基准，使用截面样板，用双手控制法来车削。这时车削出来的曲面是不很光滑的，特别是各段曲面的连接处存在不规则的转折线。

(四) 利用整形样板，手工打磨。磨除各转折线及不贴合样板的部位，使曲线各部分形状符合要求，各剖面连接处光滑。

## 六、结 束 语

本文仅以我们在研制中所遇到的某一变曲面封头为例，说明变曲面封头的设计和制造。其中所采用的设计方法或计算公式，比如用截面法来表示变曲面，用等高线法来计算下料尺寸，用平均截面法来估算强度等也能适用于其它变曲面封头。其中所采用的制造工艺方法，比如逐步成型的冲压工艺，模具的分段车削法等，由于不需要特殊的设备，简单易行，有一定的经济效果，对试制单位比较适用。但是，由于我们对变曲面封头的研制时间还较短，感到无论是理论上，还是在实践中都有不少问题需进一步探讨，如变曲面封头强度的精确计算，变曲面模具加工时劳动强度的减轻等都需要进一步做工作，也欢迎对此问题感兴趣的同志们给予指导和帮助。

## 参 考 文 献

- [1] 华罗庚、王元著《积分的近似计算》1961科学出版社出版
- [2] 北京航空学院403教研室编《旋转薄壳》1976.7出版